

ARNALDO STELINI JUNIOR

**RESISTÊNCIA À INFECÇÃO PELO *TRYPANOSOMA CRUZI* (CHAGAS, 1909):  
I. A IMPORTÂNCIA DA RESPOSTA CELULAR NA FASE AGUDA  
DA INFECÇÃO EXPERIMENTAL EM CAMUNDONGOS**

Tese apresentada ao Instituto de Biologia da Universidade Estadual de Campinas para obtenção do grau de Mestre em Biologia (Imunologia).

CAMPINAS - SP  
1986

ARNALDO STELINI JUNIOR

Este exemplar corresponde à redação final  
da Tese defendida pelo aluno Arnaldo Stelini junior  
e aprovada pela comissão julgadora.

Campinas /4/11/86

**RESISTÊNCIA À INFECÇÃO PELO TRYPANOSOMA CRUZI (CHAGAS, 1909):**

**I. A IMPORTÂNCIA DA RESPOSTA CELULAR NA FASE AGUDA  
DA INFECÇÃO EXPERIMENTAL EM CAMUNDONGOS**

Tese apresentada ao Instituto de  
Biologia da Universidade Estadual  
de Campinas para obtenção do grau  
de Mestre em Biologia (Imunologia).

Orientadores

Prof. Dr. Marcos Garcia Costa  
Prof. Dr. Antonio Carlos Corsini

Departamento de Microbiologia e Imunologia  
Instituto de Biologia  
Universidade Estadual de Campinas (UNICAMP)  
Campinas, São Paulo  
1986

## A G R A D E C I M E N T O S

Aos Profs. Dr. Antonio Carlos Corsini, Dr. Marcos Garcia Costa e Luiz Sebastião Prigenzi, pela confiança, apoio, estímulo e orientação científica.

À Coordenação do Curso de Pós-Graduação em Imunologia, pelo voto de confiança, e aos seus professores, pelos ensinamentos.

Aos colegas do Curso de Pós-Graduação e de laboratório, pela amizade e colaboração.

Ao pessoal técnico do Departamento de Microbiologia e Imunologia, em especial à Sra. Ismalia Menegon Doné, pelos cuidados com o Biotério.

A todos os que, direta ou indiretamente, tenham colaborado para a concretização deste trabalho.

As instituições abaixo relacionadas, pelos recursos fornecidos ao Curso de Pós-Graduação em Imunologia:

UNIVERSIDADE ESTADUAL DE CAMPINAS (UNICAMP),

FUNDAÇÃO DE AMPARO À PESQUISA DO ESTADO DE SÃO PAULO (FAPESP),

CONSELHO DESENVOLVIMENTO CIENTÍFICO E TECNOLÓGICO (CNPq),

COORDENAÇÃO DE APERFEIÇOAMENTO DO PESSOAL DO ENSINO SUPERIOR (CAPS).

## A B R E V I A T U R A S

B	Linfócitos tímicos independentes
FCR	Força centrífuga relativa (*)
F <sub>1</sub>	Camundongos (CBA x C <sub>57</sub> Bl/10)F <sub>1</sub>
F <sub>1B</sub>	Camundongos (CBA x C <sub>57</sub> Bl/10)F <sub>1</sub> timectomizados, irradiados e reconstituídos com células hepáticas fetais
F <sub>1R</sub>	Camundongos (CB <sub>1</sub> x C <sub>57</sub> Bl/10)F <sub>1</sub> irradiados e recons- tituídos com células hepáticas fetais
I.P.	intraperitoneal
I.V.	intravenosa
LTN	linfócitos tímicos dependentes normais
LTI	linfócitos tímicos dependentes imunes
MME	meio mínimo essencial de Eagle
R	Roentgen
SI	soro imune
SST	solução salina tamponada
T	linfócitos tímicos dependentes

$$(*) \text{ FCR} = 1,118 \times 10^5 \times R \times N$$

R: Raio rotacional (distância em cm do eixo  
central da centrífuga até a ponta do tubo)

N: velocidade em rotações por minuto

## Í N D I C E

I. Introdução .....	1
II. Material e Métodos .....	8
2.1. Animais .....	8
2.2. <i>Tripanosoma</i> .....	8
2.3. Infecção por <i>Trypanosoma cruzi</i> .....	8
2.4. Parasitemia .....	9
2.5. Contagem de Células e Viabilidade Celular .....	9
2.6. Timectomia .....	10
2.7. Irradiação .....	10
2.8. Separação de Linfócitos com Lã de Náilon .....	10
2.9. Camundongos (CBA x C <sub>57</sub> Bl/10)F <sub>1</sub> , Irradiados e Reconstituídos com Células Hepáticas Fetais .....	12
2.10. Transferência Adotiva de Linfócitos ....	12
2.11. Soro Imune .....	13
III. Resultados .....	14
3.1. Parasitemia em Camundongos (CBA x C <sub>57</sub> Bl/10)F <sub>1</sub> .....	14

3.2. Infecção pelo <i>T. cruzi</i> de Camundongos Timectomizados, Irradiados e Reconstituídos com Células Hepáticas Fetais .....	17
3.3. Infecção de Camundongos Timectomizados, Irradiados, Reconstituídos com Células Hepáticas Fetais e Tratados com Soro Imune ( $F_1B + SI$ ) .....	18
3.4. Transferência Adotiva de Linfócitos Tímicos Dependentes Normais em Camundongos Timectomizados, Irradiados e Reconstituídos com Células Hepáticas Fetais .....	21
3.5. Transferência Adotiva de Linfóticos Tímicos Dependentes e Soro Imune em Camundongos Timectomizados, Irradiados e Reconstituídos com Células Hepáticas Fetais .....	22
3.6. Transferência Adotiva de Linfócitos Tímicos Dependentes Imunes .....	25
IV. Discussão .....	31
V. Conclusões .....	41
Referências Bibliográficas .....	42

## I I N T R O D U Ç Ã O

A doença de Chagas, primitivamente uma enzootia silvestre, apenas ocasionalmente acomete o homem, à medida que este se introduz nos nichos ecológicos originais (BARRETO, 1979).

O parasita se mantém na área endêmica através do ciclo vetor-hospedeiro. O vetor pertence à subfamília *Triatominae*, que elimina a forma infectante, junto com o material fecal, no momento em que se alimenta no hospedeiro (BARRETO, 1968a). Os hospedeiros de importância são: o homem e mamíferos domésticos e silvestres (BARRETO, 1968b).

A infecção humana por *Trypanosoma cruzi* (CHAGAS, 1909) é um grave problema para o continente americano, particularmente para o Brasil. A doença, nos homens, apresenta grande importância, já que tem ampla distribuição geográfica, alta prevalência, altos índices de mortalidade (BARRETO, 1979) e, finalmente, limitadíssima terapêutica (CANÇADO & BRENER, 1979), fazendo com que a moléstia tenha elevado custo social.

Sob o aspecto clínico, a doença de Chagas pode ser observada em quatro fases distintas (WHO, 1974): incubação, aguda, indeterminada e crônica. A fase de incubação se caracteriza pela proliferação das formas amastigotas nos tecidos, com especial predileção para células do músculo cardíaco e do sistema fagocitário mononuclear, seguida da sua maturação em tripomastigotas (ANDRADE & ANDRADE, 1979). Ao ganham o sangue periférico, as formas tripomastigotas caracterizam a fase aguda, momento em que o hospedeiro é acometido de febre, linfadenopatia generalizada e diminuição de suas reservas fisiológicas. Segue-se a fase indeterminada, com acentuada diminuição, ou mesmo negativação, da parasitemia, quando então o paciente não se mostra clinicamente doente: ela pode durar dez ou mais anos para, finalmente, evoluir para a fase crônica, quando freqüentemente se observam miocardite e dilatação das vísceras ocas (LARANJA et al., 1956, e KOBERLE, 1968).

Obscuro é o conhecimento dos fatores decisivos de evolução da fase indeterminada para a crônica, ainda que o hospedeiro mostre reações sorológicas positivas facilmente detectáveis por métodos de laboratório habituais (KOBERLE, 1968).

Na fase crônica, geralmente não se encontram, ao exame microscópico, parasitas no sangue periférico. Indivíduos com infecção chagásica podem ter então o diagnóstico da doença através de investigação sorológica, ou mesmo de alterações eletrocardiográficas (KOBERLE, 1968).

KOBERLE (1968) acredita que a evolução da doença de Chagas, da fase aguda para a indeterminada e desta para a crônica, seja decorrente das lesões originadas na fase aguda, já que a imunidade desenvolvida previne novas infecções agudas, mas não interrompe o curso da doença.

No que diz respeito à etiopatogenia, nessa doença, ainda não se tem consenso sobre os mecanismos determinantes, como se verá a seguir.

COSSIO et al. (1974) demonstraram a existência de anticorpos dirigidos a componentes da fibra cardíaca (E.V.I.). TEIXEIRA (1975) propôs a existência de hipersensibilidade do tipo tardio, dirigida a fibras do músculo cardíaco, decorrente de auto-sensibilização. Como expressões imunológicas de compartimentos diferentes, humoral e celular, são mecanismos que interpretam a miocardite freqüentemente observada em pacientes cronicamente infectados, e descrita por LARANJA et al. (1956).

KOBERLE (1968) propôs a lesão de neurônios pela neurotoxina liberada da desintegração das formas amastigotas. Mais recentemente, KHOURY et al. (1979) demonstraram a existência, no decurso de uma infecção chagásica, de anticorpos dirigidos a neurônios, o que explicaria a dilatação das vísceras ocas, em especial do intestino grosso (LARANJA et al., 1956), pela destruição de neurônios e consequente perda de tonicidade do órgão.

Em especial, a resposta imune do hospedeiro, na doença de Chagas, tem sido intensamente estudada, principalmente em modelos experimentais.

As manifestações humorais da resposta imune apresentada pelo hospedeiro tiveram sua participação avaliada desde os estudos iniciais, por GUERREIRO & MACHADO (1913), com finalidades diagnósticas.

CULBERSTON & KOLODNY (1938) observaram que o soro de ratos sobreviventes de uma infecção chagásica aguda confere proteção parcial a receptores normais que, infectados, apresentaram uma infecção atenuada.

Os anticorpos de vários mamíferos apresentam *in vitro* ação lítica para as formas epimastigotas, enquanto as tripomastigotas e amastigotas intracelulares não sofrem tal efeito (MUNIZ & FREITAS, 1946, SANTOS-BUCH & TEIXEIRA, 1974).

Em camundongos, KIERSZEMBAUM & HOWARD (1976) demonstraram que os animais produtores de altos títulos de anticorpos, durante a infecção por *T. cruzi*, têm sobrevida maior que os de baixa capacidade de resposta humorai, e que estes últimos puderam ser protegidos, quando inoculados com anticorpos provenientes dos camundongos com maior capacidade de resposta humorai.

Camundongos tratados com soro anti *T. cruzi* tiveram a sobrevivência aumentada, quando comparados com os controles infectados nas mesmas condições (KAGAN & NORMAN, 1962; KIERSZEMBAUM & HOWARD, 1976).

Segundo TAKEHARA & MOTA (1979), os anticorpos protetores do soro imune de camundongos são "IgG<sub>2a</sub>" e "IgG<sub>2b</sub>".

KRETTLY & BRENER (1976) demonstraram *in vivo* que *T. cruzi* (cepa "Y") aglutinado por soro imune de camundongos sobreviventes de infecção aguda, teve sua infectividade diminuída quando inoculado em camundongos normais.

Posteriormente, KRETTLY & BRENER (1982) descreveram *in vitro* a lise de formas tripomastigotas por anticorpos mediada pela ativação do sistema complemento, com soro de camundongos cronicamente infectados. Todavia, é desconhecido o mecanismo de controle dos baixos níveis parasitêmicos *in vivo* observados nos camundongos produtores de altos títulos de anticorpos líticos. Concluíram os autores que somente camundongos que produzem anticorpos líticos são fortemente resistentes, não importando que produzam anticorpos detectáveis pelos métodos convencionais de imunofluorescência.

Quanto à imunidade celular, embora nosso atual conhecimento indique importante participação, não temos ainda estabelecido o preciso papel desempenhado na infecção chagásica.

Há aproximadamente trinta anos, TALIAFERRO & PIZZI (1955), ao estudarem a imunidade celular na doença de Chagas experimental, sugeriram importante participação desde compartimento imune, pois observaram grande redução do número de parasitas às custas de fagocitose e destruição parasitária.

A timectomia neonatal de camundongos (SCHMUNIS et al., 1971) e o tratamento com soro antitimônico impedem o desenvolvimento de imunidade eficaz na infecção por *T. cruzi*, de forma que os hospedeiros apresentam sobrevida diminuída,

maior parasitemia e infecção tissular aumentada (HANSON, 1976). Resultados concordantes foram observados por ROBERSON et al. 1973) ao trabalhar com ratos timectomizados.

Transferência de células linfóides (ROBERSON & HANSON, 1974), provenientes de baços de ratos com infecção chagásica aguda, confere a receptores singênicos normais, aumento de sobrevida e diminuição da parasitemia, quando infectados com *T. cruzi*.

Mais recentemente, REED (1980), transferindo populações linfocíticas de camundongos imunizados com formas epimastigotas de *T. cruzi*, para animais singênicos, encontrou maior proteção quando a população celular estava enriquecida de linfócitos tímicos dependentes (T). Ao serem infectados, os camundongos receptores apresentavam maior sobrevida e menor parasitemia, quando comparados aos controles receptores de linfócitos tímicos independentes (B).

No que diz respeito à memória imunológica, BURGESS & HANSON (1980) observaram sua íntima relação com os T: esses autores demonstraram a proteção que tais linfócitos, provenientes de camundongos sobreviventes de infecção aguda por *T. cruzi*, conferem a animais normais, podendo tal efeito ser abolido após o tratamento da população linfocítica a ser transferida, com soro antitimocito.

Apesar do acúmulo de informações sobre a resposta imune frente a uma infecção chagásica em diferentes espécies animais, havia a necessidade de um modelo experimental capaz

de demonstrar as diferentes fases da infecção, tão próximo quanto possível da infecção natural.

Seguindo esta última proposta e considerando os camundongos, pelo baixo custo, facilidade de manuseio e manutenção, CORSINI et al. (1980) descreveram como modelo experimental da doença de Chagas, o uso de camundongos (CBA x C<sub>57</sub>, B1/10)F<sub>1</sub> com inóculo de 10<sup>2</sup> formas sanguícolas de *T. cruzi* (cepa "Y"), onde se observaram com clareza as fases aguda e crônica da infecção chagásica.

Utilizando esse modelo, o presente trabalho tem como objetivo estudar a importância do compartimento celular da resposta imune de camundongos (CBA x C<sub>57</sub>, B1/10)F<sub>1</sub> durante infecção por 10<sup>2</sup> *T. cruzi*.

Para tanto, os camundongos (CBA x C<sub>57</sub>, B1/10)F<sub>1</sub> tiveram sua imunidade celular total ou parcialmente exaurida e no decurso da infecção chagásica observaremos a mortalidade e a parasitemia.

## II

### MATERIAL E MÉTODOS

#### 2.1. Animais

Camundongos (CBA X C<sub>57</sub> Bl/10) F<sub>1</sub>, de ambos os sexos, criados e mantidos no Biotério do Departamento de Microbiologia e Imunologia da UNICAMP, utilizados aos três meses de idade, foram denominados camundongos F<sub>1</sub>.

#### 2.2. *Tripanosoma*

*Trypanosoma (schizotrypanum) cruzi*: Cepa "Y" (PEREIRA DA SILVA & NUSSEMZWEIG, 1953), cedida pelo Dr. Zigman Brener (Belo Horizonte), foi mantida em camundongos Swiss-55 com dois a três meses de idade, por inoculação intraperitoneal (I.P.), a cada sete dias, de  $12 \times 10^4$  formas tripomastigotas, segundo instruções de BRENER (1968).

#### 2.3. Infecção por *Trypanosoma cruzi*

Os camundongos foram infectados por via intraperitoneal com cem formas, obtidas no pico parasitêmico de camun-

dongos Swiss-55 infectados com  $10^5$  parasitas. Após a sangria dos animais pelo plexo braquial, o sangue foi colocado em meio mínimo essencial (MME) contendo 1% de soro bovino fetal (SBF) e 10 UI/mlilitro de heparina, mantendo-se a mistura em banho de gelo. Em seguida, os parasitas foram contados em câmara de Neubauer e as diluições finais, realizadas em MME, de modo a se obterem cem parasitas em 0,2 ml.

#### 2.4. Parasitemia

A contagem do número de parasitas foi efetuada segundo o método de BRENER (1968). Os camundongos foram sangrados mediante pequeno corte da extremidade da cauda: desprezando a primeira gota, o sangue foi coletado em pipeta de hemoglobina calibrada em nosso laboratório para coletar 5 mm<sup>3</sup>, colocado em lâmina de microscópio e coberto por lamínula de 22 x 22 mm, de tal maneira a se obter o sangue homogeneamente distribuído.

A preparação foi examinada em microscópio binocular com lente ocular de 12,5 e objetiva de 40 aumentos, contando-se os parasitas em cem diferentes campos microscópicos. Os camundongos foram marcados na pata traseira, de modo que a parasitemia pudesse ser seguida diariamente em cada um dos animais.

#### 2.5. Contagem de Células e Viabilidade Celular

O número total de células das suspensões utilizadas foi obtido em câmara de Neubauer, diluindo-se a suspensão de células em ácido acético 1% para eliminar os eritrócitos.

As células inviáveis foram determinadas pela diluição em solução de azul-tripan preparada segundo M.G. COSTA, em 1982: 1 ml de azul-tripan (2 mg/ml), 0,25 ml de NaCl 4,25% e 1 ml de tampão fosfato pH 7,2.

#### 2.6. Timectomia

Camundongos com trinta dias de idade foram timectomizados por incisão cirúrgica supra-esternal. O timo foi retirado com auxílio de pinça cirúrgica, e a cavidade torácica fechada com grampos metálicos (agrafes de Michel).

#### 2.7. Irradiação

Os camundongos contidos em caixas plásticas foram irradiados com 850 R utilizando fonte de Co<sup>60</sup>.

#### 2.8. Separação de Linfócitos com Lã de Náilon

Lã de náilon manuseada com luvas de borracha, foi lavada por nove vezes em água bidestilada. Após secagem de lã, sempre com as mãos protegidas por luvas de borracha, pesou-se 0,6 g, que foi compactada em seringa hipodérmica de 10 cm<sup>3</sup>. O conjunto, rotulado como "coluna de lã de náilon", foi protegido com papel alumínio até seu emprego, para se evitar o empoeiramento.

Nesse momento, tais colunas foram encharcadas com solução salina tamponada (SST) contendo 5% de soro bovino

fetal e levadas a 37° durante 30 minutos, protegidas nas extremidades por rolhas de borracha, para evitar o dessecamento.

Células esplênicas, obtidas a partir da fragmentação do baço em macerador de vidro, foram lavadas em MME uma vez e ressuspensas com cloreto de amônia (0,83%) durante cinco minutos para lise das hemácias. Comumente, utilizaram-se 40 ml de cloreto de amônia para seis baços normais ou três infectados.

O material foi centrifugado a 240 FCR, durante cinco minutos, e ressuspenso em SST-5% soro bovino fetal, de modo a se obterem  $2 \times 10^8$  células/mililitro, e imediatamente levado para as colunas de náilon, na quantidade de 1 ml por coluna.

Após incubação a 37° C durante 45 minutos, procedeu-se à eluição, adicionando-se 20 ml de SST-5% soro bovino fetal, gota a gota, durante aproximadamente dez minutos.

O material eluído foi centrifugado a 240 FCR, por cinco minutos, e ressuspenso em SST-5% de soro bovino fetal, de modo a conseguir  $2 \times 10^8$  células/mililitro.

A suspensão celular assim preparada foi colocada em nova coluna de náilon e o procedimento, repetido.

Os ensaios, com rendimento de 8 a 12% de células eluídas, estão de acordo com JULIUS et al. (1973), que mostram rendimento máximo de 10 a 15% com menos de 5% de contaminação de linfócitos tímicos independentes nas células eluídas das colunas.

## 2.9. Camundongos (CBA X C<sub>57</sub> Bl/10)F<sub>1</sub>, Irradiados e Reconstituídos com Células Hepáticas Fetais

Camundongos (CBA X C<sub>57</sub> Bl/10)F<sub>1</sub>, com um mês de idade, foram timectomizados e, trinta dias após, irradiados (850 R) e imediatamente reconstituídos, por via intravenosa, com 10<sup>7</sup> células hepáticas fetais (CHF) de camundongos (CBA X C<sub>57</sub> Bl/10)F<sub>1</sub> com cerca de doze dias de vida intra-uterina (KLAUS & HUMPHREY, 1977). Os animais assim preparados foram denominados F<sub>1</sub>B.

## 2.10. Transferência Adotiva de Linfócitos

Camundongos F<sub>1</sub>B receberam diferentes quantidades de linfócitos tímicos dependentes, provenientes de baços de animais singênicos, após dupla separação em coluna de náilon.

Dois lotes de camundongos F<sub>1</sub>B receberam 2 x 10<sup>7</sup> e 4 x 10<sup>7</sup> T provenientes de camundongos singênicos normais. A transferência sempre precedeu de trinta dias a infecção com 10<sup>2</sup> *T. cruzi*. Os lotes de camundongos foram denominados F<sub>1</sub>B + 2 x 10<sup>7</sup> LTN e F<sub>1</sub>B + 4 x 10<sup>7</sup> LTN.

Três outros lotes de camundongos F<sub>1</sub>B receberam T oriundos de camundongos singênicos que sobreviveram por oito semanas a uma infecção chagásica. A transferência precedeu de sete dias a infecção com 10<sup>2</sup> *T. cruzi*. Os lotes assim preparados foram denominados F<sub>1</sub>B + 10<sup>7</sup> LTI, F<sub>1</sub>B + 2 x 10<sup>7</sup> LTI e F<sub>1</sub>B + 4 x 10<sup>7</sup> LTI.

A transferência das diferentes populações linfocitárias para os camundongos receptores, sempre foi feita por via intravenosa.

#### 2.11. Soro Imune

Camundongos (CBA X C<sub>57</sub> Bl/10)F<sub>1</sub> sobreviventes de infecção chagásica foram, aos 56 dias, sangrados pelo plexo braquial. O sangue obtido foi mantido a 4-8° até a obtenção do soro que, após decomplementação (56° C por uma hora), foi mantido a -20° C até o momento de uso.

Rotularam-se (camundongos receptores do imunessoro) conforme sua nomenclatura de lote acrescida das letras SI (soro imune). Quando se utilizou soro proveniente de camundongos (CBA x C<sub>57</sub> Bl/10)F<sub>1</sub> normais nos controles, acrescentaram-se as letras SN na denominação do lote.

A inoculação sempre foi feita por via intravenosa; a partir do 4º dia de infecção, utilizando-se 0,2 ml de soro a cada dois dias.

### III R E S U L T A D O S

#### 3.1. Parasitemia em Camundongos (CBA x C<sub>57</sub> Bl/10) F<sub>1</sub>

Com a finalidade de verificar o decurso da infecção com a cepa "Y" em camundongos (CBA x C<sub>57</sub> Bl/10) F<sub>1</sub>, procuramos inicialmente estabelecer a curva parasitêmica nos animais infectados por via I.P., com cem formas de parasitas.

Conforme se pode observar na figura 1, a parasitemia foi detectada somente a partir do 7º dia, atingindo o pico parasitêmico no 11º. A partir do 13º dia, os animais controlaram a parasitemia, havendo poucos parasitas circulantes nos dias que se seguiram. Os animais apresentaram alta resistência ao inóculo, visto que o nível de sobrevivência foi de 100% aos 180 dias (Tab. 1).

TABELA 1. Mortalidade: Número de camundongos mortos/número de camundongos ensaiados

Camundongos	Dias de infecção			
	20	30	90	120
F <sub>1</sub>	0/19	0/19	0/19	0/19
F <sub>1</sub> B	34/34	34/34	34/34	34/34
F <sub>1</sub> B + SI	21/21	21/21	21/21	21/21
F <sub>1</sub> B + 2x10 <sup>7</sup> LTN	17/17	17/17	17/17	17/17
F <sub>1</sub> B + 4x10 <sup>7</sup> LTN	10/10	10/10	10/10	10/10
F <sub>1</sub> B + SI + 2x10 <sup>7</sup> LTN	7/12	12/12	12/12	12/12
F <sub>1</sub> B + 10 <sup>7</sup> LTI	3/14	3/14	3/14	3/14
F <sub>1</sub> B + 2x10 <sup>7</sup> LTI	2/19	2/19	2/19	2/19
F <sub>1</sub> B + 4x10 <sup>7</sup> LTI	1/11	1/11	1/11	1/11
F <sub>1</sub> R	0/20	0/20	0/20	0/20

QUADRO 1. Valores dos pontos plotados na Figura 1. Representam a média geométrica com erro padrão da parasitemia observada nos camundongos  $F_1$ ,  $F_{1R}$  e  $F_{1B}$

Camundongos	Dias de infecção													
	7	8	9	10	11	12	13	14	15	16	17	18	19	20
$F_1$	Média geométrica	9,8	11,7	14,1	111,0	357,9	149,2	19,7	22,0	19,9	19,4	19,4	14,1	11,3
	Erro padrão	1,0	1,2	1,2	1,4	1,2	1,2	1,3	1,3	1,3	1,3	1,2	1,4	
	Média geométrica	19,6	43,6	234,3	226,3	15,1	22,4	13,9	23,2	25,8	29,8	27,6	24,5	26,1
$F_{1R}$	Erro padrão	1,0	1,9	2,1	1,7	1,7	2,2	1,6	2,2	2,1	2,3	1,5	1,8	1,9
	Média geométrica	9,8	30,6	60,4	122,4	1503,5	2688,0	1238,5	844,5	1587,1	1460,8	405,5	611,8	
	Erro padrão	1,0	1,4	1,6	1,7	1,3	1,5	2,0	2,2	2,0	1,8	2,0	1,4	

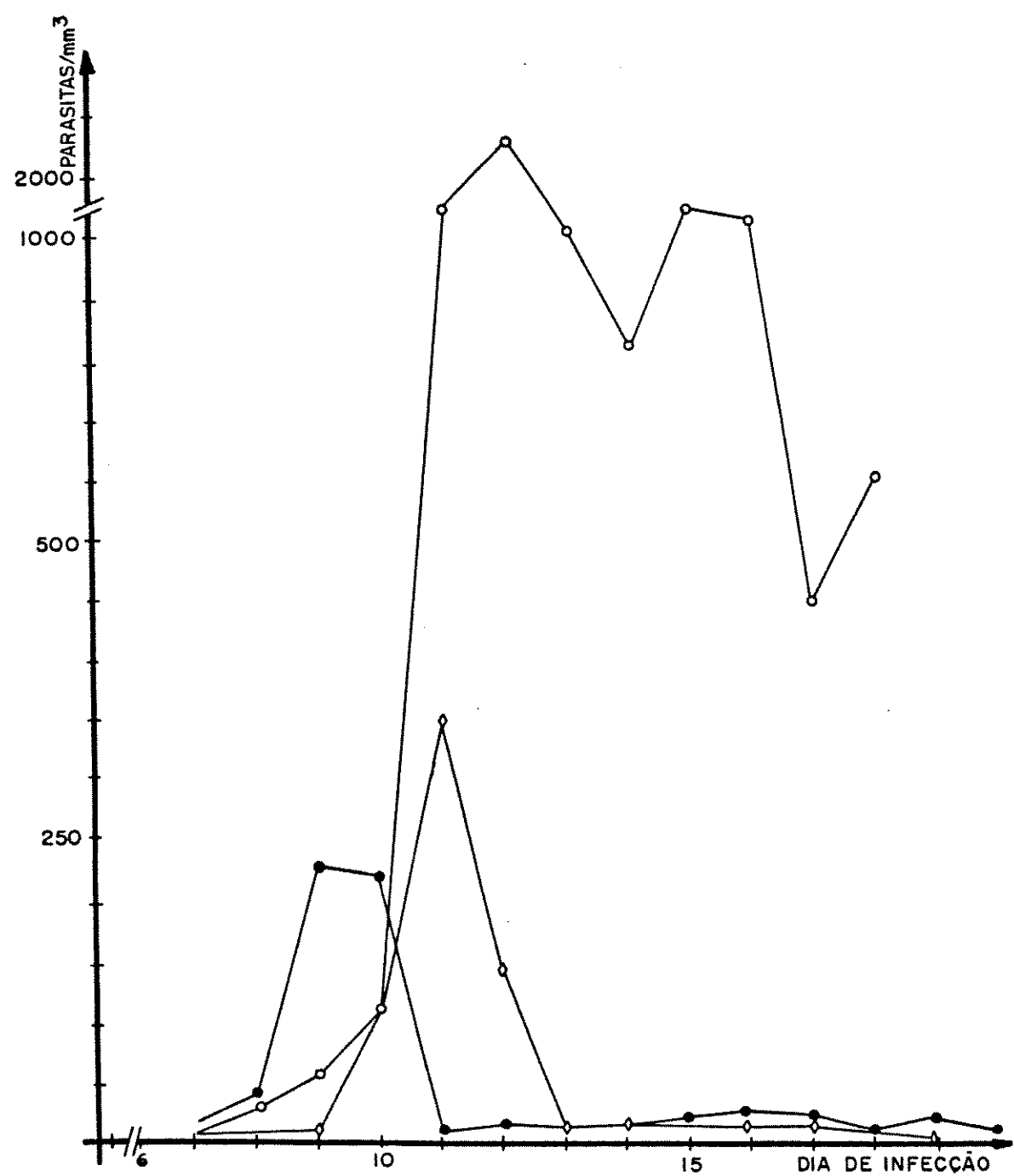


Figura 1. Parasitemia de camundongos (CBA x C<sub>57</sub> Bl/10)F<sub>1</sub> normais (F<sub>1</sub>:—♦—), irradiados e reconstituídos com células hepáticas fetais (F<sub>1</sub>R:—●—), timectomizados e irradiados e reconstituídos com células hepáticas fetais (F<sub>1</sub>B:—○—).

Tais resultados mostram a reprodutibilidade dos obtidos por CORSINI et al. (1980), que evidenciaram pico parasitêmico no 11º dia de infecção, com valor médio de 350 parasitas/milímetro<sup>3</sup> e sobrevivência maior que 90%.

### 3.2. Infecção pelo *T. cruzi* de Camundongos Timectomizados, Irradiados e Reconstituídos com Células Hepáticas Fetais

Com a finalidade de verificar a participação de T na resistência à infecção pelo *T. cruzi*, os camundongos F<sub>1</sub> foram timectomizados, irradiados subletalmente e reconstituídos com células hepáticas fetais singênicas (F<sub>1B</sub>). Assim preparados, e decorridos trinta dias, foram infectados por via I.P., com 10<sup>2</sup> *T. cruzi*, e tiveram a parasitemia controlada diariamente.

De acordo com a figura 1, o encontro de parasitas no sangue periférico aconteceu no 7º dia de infecção e atingiu o pico parasitêmico no 12º dia, com 2.500 parasitas/milímetro<sup>3</sup>, portanto, cerca de oito vezes mais que o observado nos controles normais (F<sub>1</sub>). Em seguida, houve controle dos níveis parasitêmicos, com mínimos de 400 a máximos de 1.000 parasitas/milímetro<sup>3</sup> aproximadamente, até o 19º dia, quando se constatou 100% de óbito.

Como controle de irradiação, utilizaram-se camundongos F<sub>1</sub> irradiados subletalmente, nas mesmas condições dos

$F_1B$ , mas não timectomizados e denominados  $F_1R$ : esses animais apresentaram sobrevivência de 100% e curva parasitêmica semelhante à dos  $F_1$ , verificando-se, porém, antecipação do pico e diminuição dos níveis parasitêmicos (Figura 1).

Em relação aos camundongos  $F_1$ , os  $F_1B$  e  $F_1R$  sempre apresentaram maior erro-padrão.

### 3.3. Infecção de Camundongos Timectomizados, Irradiados, Reconstituídos com Células Hepáticas Fetais e Tratados com Soro Imune ( $F_1B + SI$ )

Considerando o efeito protetor do soro imune no decurso da infecção chagásica (TAKEHARA & MOTA, 1979), ensaiamos camundongos  $F_1B$ , que, após inóculo de  $10^2 T. cruzi$ , receberam adotivamente, ao contrário dos  $F_1$  e  $F_1B$  controles, 0,2 ml de SI por via I.V. a partir do 4º dia de infecção, a cada dois dias.

O encontro de parasitas circulantes iniciou-se no 8º dia de infecção, e o controle parasitêmico foi discreto, mas perceptível a partir do 13º dia.

Os camundongos  $F_1B + SI$  apresentaram pico parasitêmico no 12º dia, com valor aproximadamente cinco vezes menor, quando comparado ao apresentado pelos  $F_1B$ , conforme se pode notar na figura 2 e quadro 2.

QUADRO 2. Valores dos pontos plotados na Figura 2. Representam a média geométrica com erro padrão da parasitemia de camundongos  $F_1B$  que receberam adotivamente soro imune, dos camundongos  $F_1B$  e dos  $F_1$

Camundongos	Dias de infecção											
	7	8	9	10	11	12	13	14	15	16	17	18
$F_1B + SI$	Média	30,6	40,8	89,8	194,8	423,4	380,5	302,0	206,4	142,3	370,3	
	Erro	1,5	2,0	1,8	3,0	1,6	1,4	1,3	1,3	1,9	2,0	
	padrão											
$F_1B$	Média geométrica	9,8	30,6	60,4	122,4	1503,5	2688,0	1238,5	844,5	1587,1	1460,8	
	Erro	1,0	1,4	1,6	1,7	1,3	1,5	2,0	2,2	2,0	1,8	
	padrão											
$F_1$	Média geométrica	9,8	11,7	14,1	111,0	357,5	149,2	19,7	22,0	19,9	19,4	
	Erro	1,0	1,2	1,2	1,2	1,4	1,2	1,2	1,3	1,3	1,4	
	padrão											

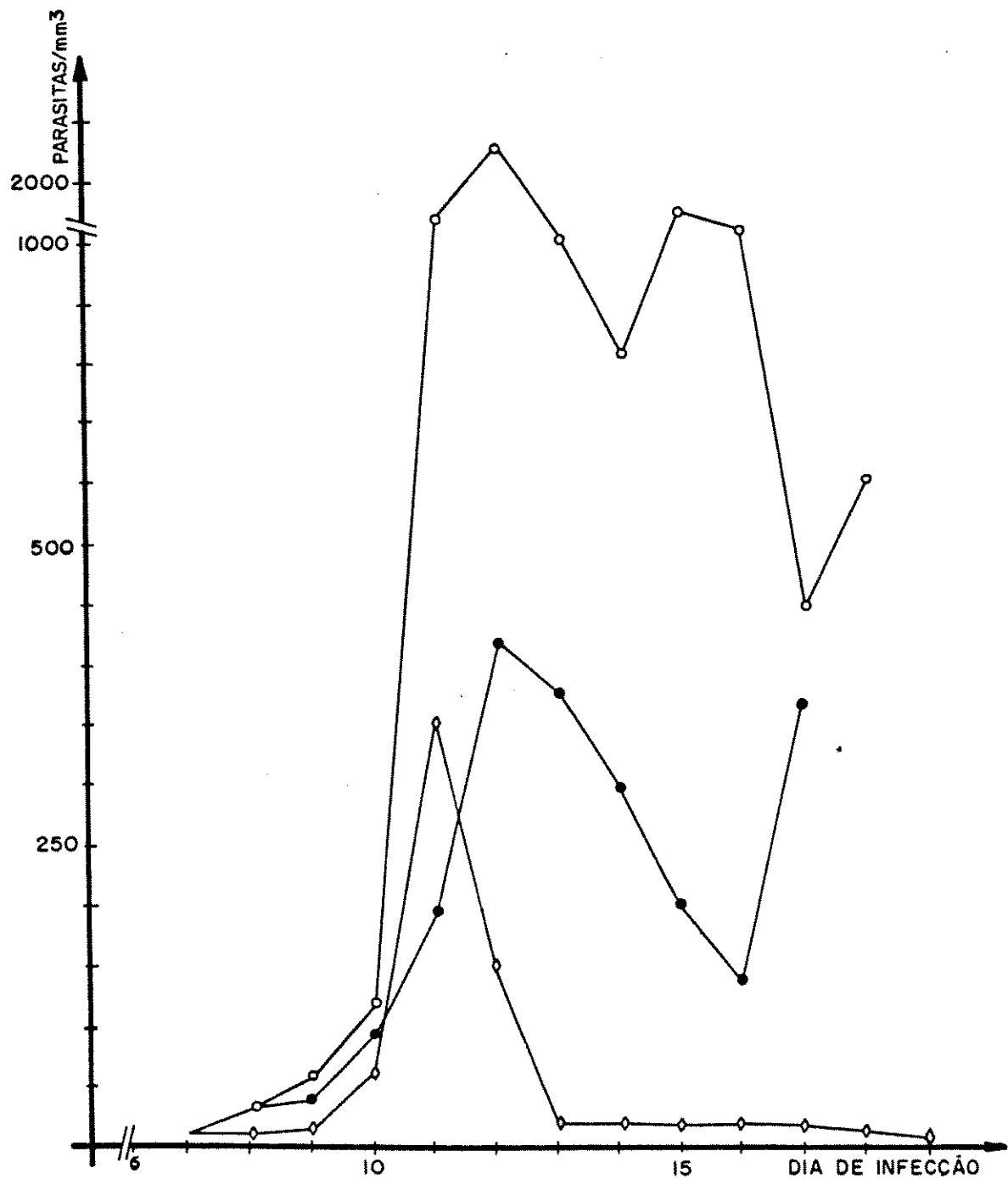


Figura 2. Parasitemia em camundongos ( $CBA \times C_{57} B1/10$ ) $F_1$  timectomizados e irradiados e reconstituídos com células hepáticas fetais ( $F_1B$ : ●) receptores de soro imune. As parasitemias dos camundongos ( $F_1B$ : ○) e ( $F_1$ : ◊) são controles e servem para melhor comparação.

O soro imune conferiu aos camundongos F<sub>1</sub>B proteção parcial perante a infecção chagásica, pois não restaurou a resistência natural que possuem os F<sub>1</sub>, já que constatamos mortalidade de 100% aos 20 dias de infecção.

Quanto ao erro-padrão, observamos maior homogeneidade quando comparado ao dos controles F<sub>1</sub>B.

#### 3.4. Transferência Adotiva de Linfócitos Tímicos Dependentes Normais em Camundongos Timectomizados, Irradiados e Reconstituídos com Células Hepáticas Fetais

Considerando que os camundongos F<sub>1</sub>B foram suscetíveis à infecção de 10<sup>2</sup> *T. cruzi*, transferimos a estes animais diferentes quantidades de **T** obtidas em F<sub>1</sub> normais.

Para tanto, suspensões celulares esplênicas de camundongos F<sub>1</sub> normais foram processadas através de dupla separação em coluna de lã de náilon. Em seguida, os **T** foram transferidos aos receptores F<sub>1</sub>B, que, após quatro semanas, receberam inóculo de 10<sup>2</sup> *T. cruzi*.

O lapso de tempo entre a transferência de linfócitos e inóculo do parasita foi observado para permitir acomodação e eventualmente maturação das populações linfocíticas transferidas.

Os camundongos F<sub>1</sub>B receberam diferentes quantidades de linfócitos tímicos dependentes normais (LTN) e foram rotulados de acordo com o inóculo da seguinte forma: F<sub>1</sub>B + 2 x 10<sup>7</sup> LTN e F<sub>1</sub>B + 4 x 10<sup>7</sup> LTN.

Os períodos pré-patentes observados nesses dois lotes foram de seis dias.

Os  $F_1B + 2 \times 10^7$  LTN tiveram pico parasitêmico no 11º dia de infecção, assim como os  $F_1$  controles, mas com valor cerca de três vezes maior.

Nos camundongos  $F_1B + 4 \times 10^7$  LTN, o pico parasitêmico foi observado no 9º dia, com valor muito próximo e controle do nível muito semelhante ao dos  $F_1$  controles, como indica a figura 3 e quadro 3.

Todavia, apesar da proteção parcial conferida aos  $F_1B$ , constatada pelo maior controle parasitêmico, a transferência adotiva de T normais não foi capaz de restaurar a resistência à infecção dos  $F_1$ , já que foi observada mortalidade de 100% aos vinte dias de infecção.

Comparativamente aos  $F_1$ , o erro-padrão dos níveis parasitêmicos sempre foi maior.

### 3.5. Transferência Adotiva de Linfócitos Tímicos Dependentes e Soro Imune em Camundongos Tiectomizados, Irradiados e Reconstituídos com Células Hepáticas Fetais

Camundongos  $F_1B$ , ao receberem linfócitos normais ou soro imune, foram suscetíveis à infecção por *T. cruzi*, ao contrário dos seus originadores  $F_1$ .

Com o intuito de avaliar o efeito das duas transferências, quando executadas simultaneamente, transplantamos

**QUADRO 3.** Valores dos pontos plotados na Figura 3. Representam a média geométrica com erro padrão da parasitemia dos camundongos  $F_1B$  que receberam diferentes quantidades de linfócitos tímicos dependentes normais e dos  $F_1$

		Camundongos										F1													
		Dia de infecção										Dia de infecção													
		7 8 9 10 11 12 13 14 15 16 17 18 19										7 8 9 10 11 12 13 14 15 16 17 18 19													
		Média geométrica	13,4	154,5	705,7	886,5	955,7	258,7	242,0	380,1	153,9	84,1	Média geométrica	11,2	149,1	428,9	236,4	37,8	16,3	14,2	67,8	27,0	39,2	24,0	
$F_1B + 2 \times 10^7$ LTN		Erro padrão	1,3	1,7	1,5	1,4	1,6	3,1	2,7	2,2	1,4	1,2	$F_1B + 4 \times 10^7$ LTN	Erro padrão	1,8	1,4	1,4	1,5	1,5	1,2	1,2	1,9	1,6	1,3	1,2
2																									

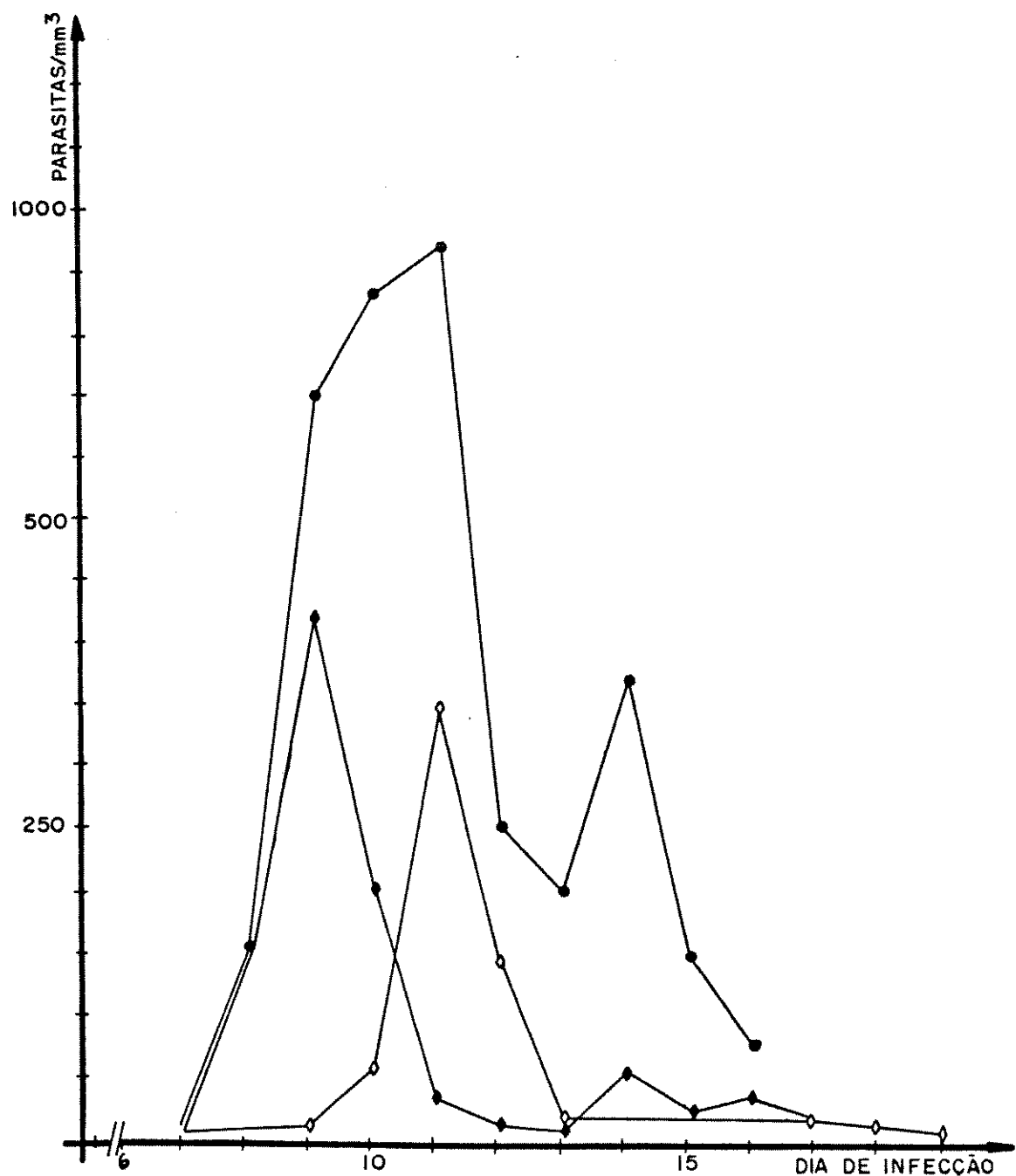


Figura 3. Parasitemia de camundongos F<sub>1</sub>B que receberam previamente diferentes quantidades de linfócitos tímicos normais (F<sub>1</sub>B + 2 x 10<sup>7</sup> LTN: —●— e F<sub>1</sub>B + 4 x 10<sup>7</sup>: —○—) e de (F<sub>1</sub>: —○—).

$2 \times 10^7$  LTN em camundongos F<sub>1</sub>B, que, após quatro dias de infecção por *T. cruzi*, receberam 0,2 ml de soro imune, por via I.V., a cada dois dias.

Houve um período pré-patente de seis dias e pico parasitêmico no 10º dia, com valor aproximadamente quatro vezes menor em relação aos F<sub>1</sub>B.

Comparativamente aos F<sub>1</sub>, controles, o pico parasitêmico foi menor, como se observa na figura 4 e quadro 4.

A transferência adotiva simultânea de linfócitos tímicos normais e soro imune conferiu proteção aos F<sub>1</sub>B, sem, no entanto, restituír-lhes a resistência dos F<sub>1</sub>. A taxa de mortalidade de 60% dos animais deu-se no 20º dia de infecção e de 100% somente no 30º dia.

O erro-padrão observado neste experimento, quando comparado com o F<sub>1</sub> controle, foi sempre maior.

### 3.6. Transferência Adotiva de Linfócitos Tímicos Dependentes Imunes

Considerando que os camundongos F<sub>1</sub>B não tiveram a resistência natural dos F<sub>1</sub> restaurada, apesar das transferências adotivas de linfócitos normais e/ou soro imune, no presente experimento transferimos T imunes (LTI), provenientes de camundongos sobrevidentes de infecção chagásica.

**QUADRO 4.** Valores dos pontos plotados na Figura 4. Representam a média geométrica com erro padrão da parasitemia dos camundongos  $F_1B$  que receberam linfócitos tímicos dependentes normais e soro imune e dos camundongos  $F_1$

Camundongos	Dias de infecção					
	7	8	9	10	11	12
$F_1B + SI + 2 \times 10^7$ LTN	Média geométrica	16,9	154,3	102,9	192,6	157,8
	Erro padrão	1,4	2,1	1,9	2,0	2,9
						2,4
$F_1$	Média geométrica	9,8	11,7	14,1	111,0	357,5
	Erro padrão	1,0	1,2	1,2	1,2	1,4
						1,2
$F_1B + SI + 2 \times 10^7$ LTN						
	Média geométrica	54,8	25,8	30,0	15,6	23,2
	Erro padrão	1,8	1,3	1,8	1,4	1,9
$F_1$	Média geométrica	19,7	22,0	19,9	19,4	14,1
	Erro padrão	1,2	1,3	1,3	1,3	1,2
						1,4

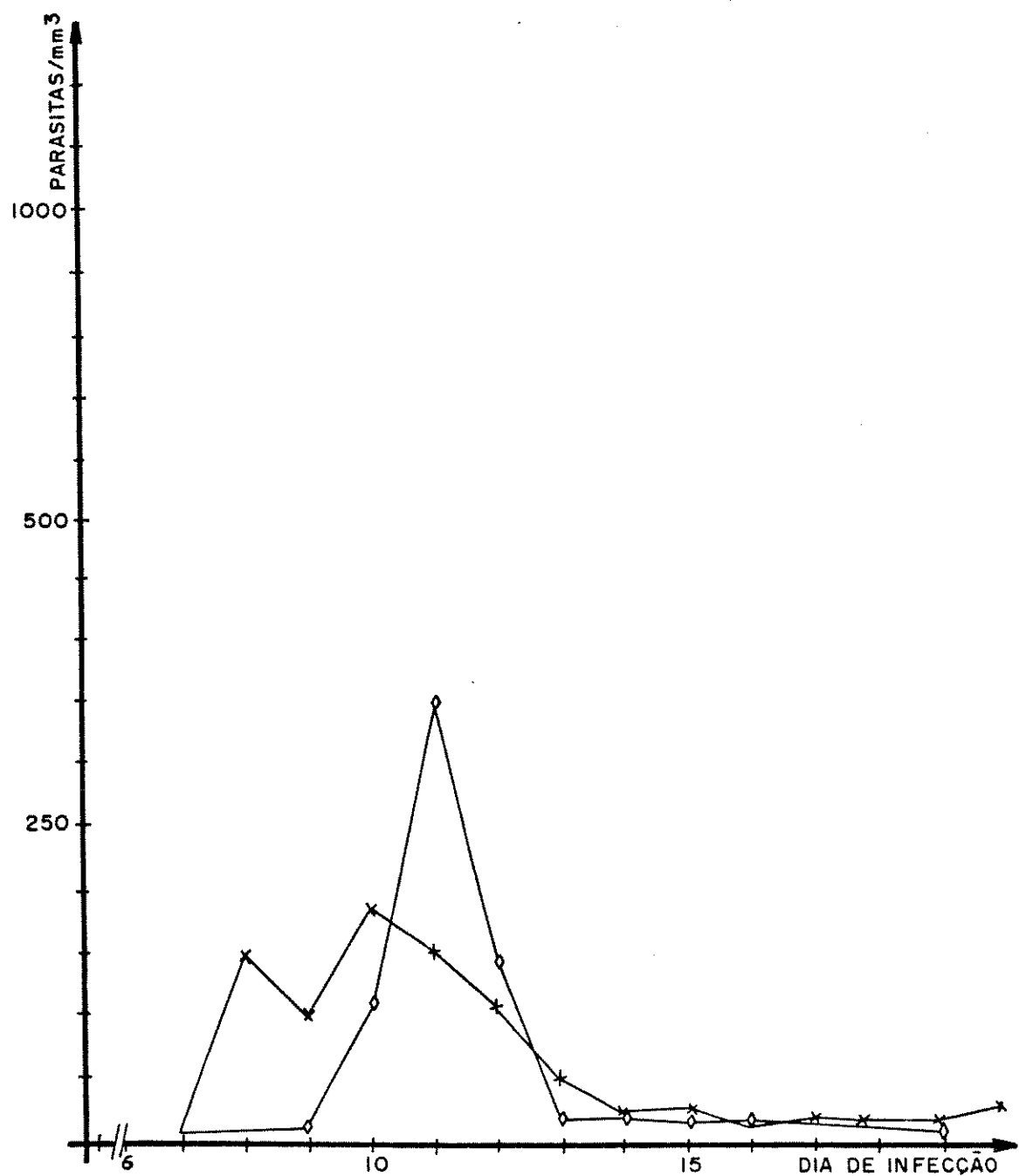


Figura 4. Parasitemia dos camundongos F<sub>1</sub>B receptores de linfócitos tímicos dependentes normais e de soro imune (—\*—). Como controle valores de parasitemia em (F<sub>1</sub>:—◊—) infectados nas mesmas condições experimentais.

Diferentes lotes de F<sub>1</sub>B foram rotulados conforme a quantidade de LTI transferida, a saber: F<sub>1</sub>B + 10<sup>7</sup> LTI, F<sub>1</sub>B + + 2 x 10<sup>7</sup> LTI e F<sub>1</sub>B + 4 x 10<sup>7</sup> LTI

O período pré-patente de quatro dias foi observado nos camundongos F<sub>1</sub>B + 2 x 10<sup>7</sup> LTI e o de seis dias, nos F<sub>1</sub>B + 10<sup>7</sup> LTI e F<sub>1</sub>B + 4 x 10<sup>7</sup> LTI.

Quanto ao pico parasitêmico, os camundongos que receberam 10<sup>7</sup> LTI, 4 x 10<sup>7</sup> LTI e 2 x 10<sup>7</sup> LTI, apresentaram-no, respectivamente, no 9º, 10º e 11º dia de infecção.

Após o pico parasitêmico, sempre com valores menores que o dos F<sub>1</sub> controles, os lotes ensaiados apresentaram imediato controle da parasitemia (figura 5 e quadro 5).

A taxa de mortalidade aos 90 dias de infecção foi de aproximadamente 10% nos lotes que receberam 2 x 10<sup>7</sup> e 4 x 10<sup>7</sup> LTI, e de 20% nos receptores de 10<sup>7</sup> LTI.

O erro-padrão dos três lotes ensaiados mostrou-se sensivelmente mais homogêneo quando comparado aos F<sub>1</sub>B.

Além da proteção conferida aos camundongos F<sub>1</sub>B, perceptível através do eficiente controle da parasitemia, a transferência adotiva de linfócitos tímicos imunes restaurou aos F<sub>1</sub>B receptores a resistência peculiar dos F<sub>1</sub> perante a infecção chgásica por 10<sup>2</sup> T. cruzi.

**QUADRO 5.** Valores dos pontos plotados na Figura 5. Representam a média geométrica com erro padrão da parasitemia dos camundongos *F<sub>1</sub>B* que receberam diferentes quantidades de linfócitos tímicos dependentes imunes e dos *F<sub>1</sub>*

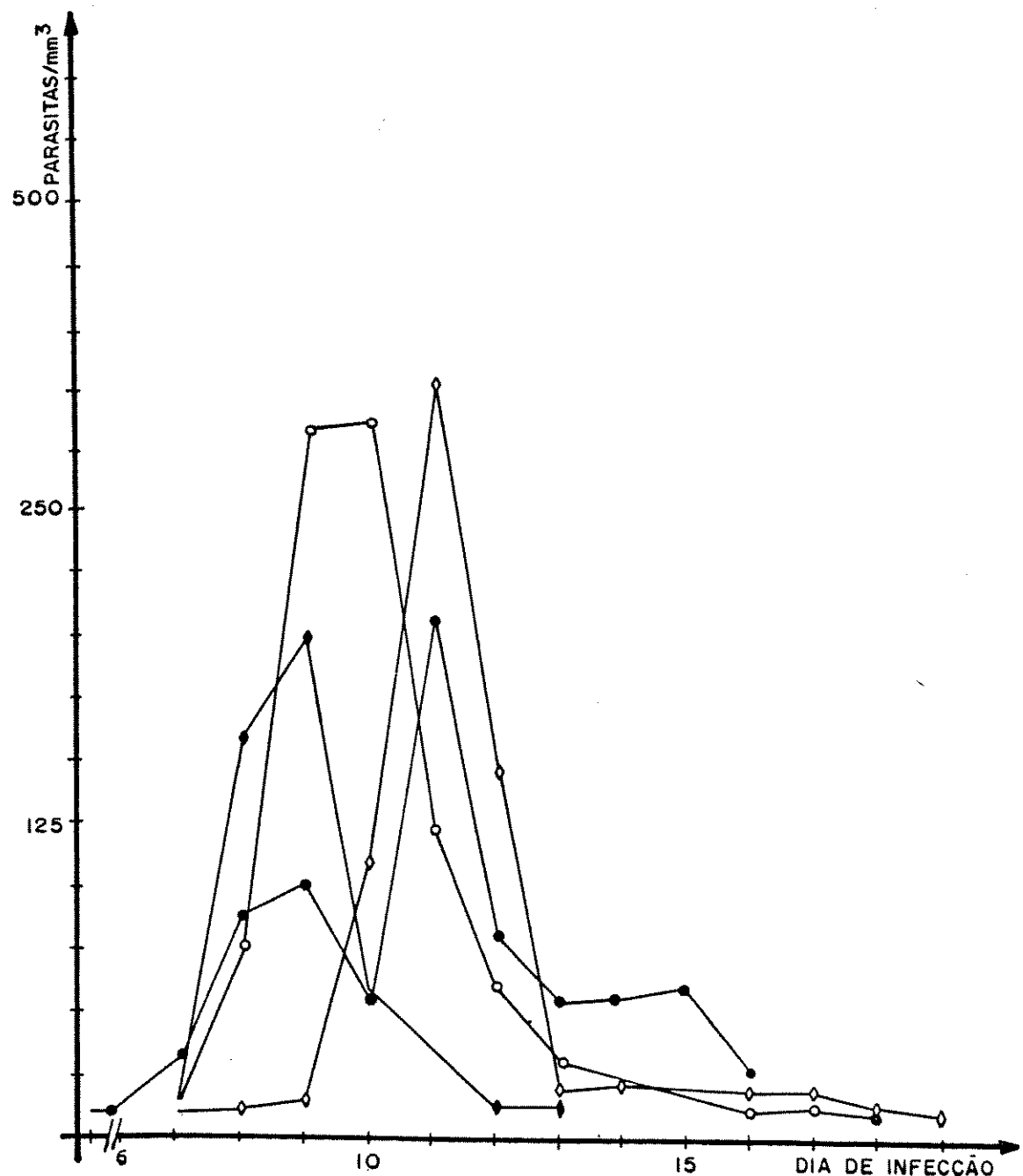


Figura 5. Parasitemia de camundongos F<sub>1</sub>B que receberam diferentes quantidades de linfócitos tímicos imunes (F<sub>1</sub>B + 10<sup>7</sup> LTI: —○—, F<sub>1</sub>B + 2 x 10<sup>7</sup> LTI: —●—, F<sub>1</sub>B + 4 x 10<sup>7</sup> LTI: —◆—) e de camundongos (F<sub>1</sub>: —◇—).

IV  
**D I S C U S S Ã O**

Nossos experimentos evidenciaram que camundongos timectomizados, irradiados e reconstituídos com células hepáticas fetais, portanto com população T drasticamente exaurida, não foram capazes de controlar uma infecção por *T. cruzi*: apresentaram grande parasitemia e alta mortalidade, ao contrário de seus originadores (CBA x C<sub>57</sub> Bl/10)F<sub>1</sub>, que, nas mesmas condições experimentais, revelaram efetivo controle dos níveis parasitêmicos e baixa mortalidade (CORSINI et al., 1980).

De imediato, pudemos inferir que a população T é imprescindível na resposta primária de uma infecção chagásica experimental, em camundongos.

Nossa conclusão, a partir do modelo experimental proposto, encontra sólido respaldo na literatura especializada, como veremos a seguir.

TALIAFERRO & PIZZI (1955), apoiados em estudos morfológicos, indicaram que a resistência de murinos a uma infecção chagásica é principalmente mediada por células.

Camundongos com imunidade celular diminuída, quer congenitamente (TRISCHMANN et al., 1978), quer através de timectomia neonatal (SCHMUÑIS et al., 1971), ou mesmo tratados com soro antitimocito (ROBERSON, 1974), apresentam um aumento nos níveis parasitêmicos e mortalidade quando comparados com os normais.

Mais recentemente, BURGESS & HANSON (1980), descrevendo modelo semelhante ao do presente trabalho, utilizando camundongos C<sub>57</sub> Bl/6J, timectomizados, irradiados e reconstituídos com medula óssea singêntica, concluíram que a resposta primária, em murinos, depende intensamente dos T. Segundo aqueles autores, a exaustão da população linfocítica tímica dependente permitia um aumento nos níveis parasitêmicos e uma diminuição da sobrevida dos camundongos infectados por *T. cruzi*.

Apesar de o trabalho não se propor ao estudo da forma de participação dos linfócitos tímicos na resposta imune primária, pelo menos três sugestões podem ser discutidas.

Primeiramente, os linfócitos tímicos considerados como efetores da resposta imune (SANTOS-BUCH & TEIXEIRA, 1974), ao apresentarem um efeito lítico maior sobre células parasitadas por *T. cruzi*.

O segundo mecanismo de participação seria através da ativação de macrófagos, tendo como mediadores linfoquinas (NOGUEIRA & COHN, 1977), de forma que, quando ativados, pudessem destruir os parasitas intracelulares, ao contrário

dos macrófagos normais, que, impotentes diante da reprodução do parasita, são destruídos (NOGUEIRA & COHN, 1976), caracterizando um modelo semelhante ao descrito por JONES et al. (1972) para a toxoplasmose.

Como terceira proposta de participação dos T, lembramos a cooperação com B para a produção de anticorpos (KATZ, 1982), ainda que saibamos serem os camundongos exauridos de linfócitos T ( $F_1B$ ) capazes de produzir anticorpos suficientes para o controle parasitêmico (SCHMUÑIS et al., 1971).

Entretanto, temos evidências experimentais de que a cooperação de linfócitos T e B, no que diz respeito à produção de anticorpos, não foi fator determinante na resistência dos camundongos  $F_1$  diante de inóculo de  $10^2$  *T. cruzi*. Como se observa na figura 2, a transferência adotiva de soro imune não restaurou aos  $F_1B$  receptores a resistência dos seus originadores (CBA x C<sub>57</sub> Bl/10)  $F_1$ .

Restou-nos atribuir ao compartimento humorai na resposta imune primária um relevante papel no controle dos parasitas, provavelmente por mecanismos conhecidos: efeito opsonizante, citotoxicidade auxiliada pelo sistema complemento (HANSON, 1976) e citotoxicidade mediada por células dependentes de anticorpos (OKABE et al., 1980). Essa posição concorda com a observação de PIZZI et al. (1950) que o compartimento humorai da resposta imune numa infecção chagásica não é fator determinante na resistência de camundongos.

Nossos resultados, embora se mostrassem de acordo com o descrito efeito protetor dos anticorpos na infecção

por *T. cruzi*, conforme relataram KRETTLI & BRENER (1976) e TAKEHARA & MOTA (1979), pois controlaram efetivamente a parasitemia, são conflitantes com os obtidos por BRAZ (1981) em nossos laboratórios.

Segundo essa autora, a resistência de camundongos a uma infecção chagásica é dependente do título de anticorpos encontrados já na fase pré-patente da infecção. Todavia, o conflito estabelecido poderá ser aclarado se considerarmos que, no próprio trabalho de BRAZ (1981), os camundongos "Biozzi", apesar de apresentarem os mais altos títulos de anticorpos, também detinham índice de mortalidade maior quando comparados com os (CBA x C<sub>57</sub>Bl/10)F<sub>1</sub>.

Consideremos, ainda, que no trabalho de BRAZ (1981), a técnica para a detecção de anticorpos foi a de imunofluorescência indireta, o que, segundo KRETTLI & BRENER (1982) não nos autoriza a inferir conclusões seguras, pois alguns esquemas de vacinação comprovadamente ineficazes produzem anticorpogênese com títulos comparáveis aos observados em uma infecção chagásica aguda.

KRETTLI & BRENER (1982) responsabilizaram os anticorpos líticos para tripomastigotas, detectáveis na fase crônica por técnicas de lise mediada por complemento, pelos baixos níveis parasitêmicos e resistência dos camundongos a uma infecção por *T. cruzi*.

Resumindo, temos evidências de que o papel dos linfócitos tímicos dependentes, na resistência de camundongos a

uma infecção chagásica, possa não ser somente o de auxiliar na anticorpogênese, mas também estarem envolvidos como efeatores da resposta imune.

Em consequência dos três mecanismos de ação dos T anteriormente apresentados, restava-nos analisar, dentro da proposta do parágrafo anterior, a sua participação como efeatores da resposta imune, o que não foi feito, pois nos ativemos tão somente ao caráter de imprescindibilidade.

Colocada a importância dos linfócitos tímicos na imunidade desenvolvida pelos camundongos F<sub>1</sub> diante de uma infecção por *T. cruzi*, os experimentos que se seguiram tiveram por objetivo reconstruir a capacidade funcional dos camundongos F<sub>1B</sub> através da transferência adotiva de T.

A tentativa de restauração dos F<sub>1B</sub> com linfócitos tímicos normais mostrou-se ineficaz, pois os diferentes lotes de camundongos não resistiram a uma infecção por 10<sup>2</sup> *T. cruzi*, como era nossa expectativa.

Com certeza, esta última observação não se deveu a componentes radioinsensíveis. A transferência de células hepáticas fetais para camundongos (CBA x C<sub>57</sub> Bl/10)F<sub>1</sub> irradiados, mas não timectomizados (F<sub>1R</sub>), restaurou completamente a resistência ante uma infecção por 10<sup>2</sup> *T. cruzi*.

Períodos longos, como sessenta dias, foram respeitados entre a transferência de linfócitos normais tímicos dependentes e a infecção, para que afastássemos uma possível maturação insuficiente da população celular transplantada.

Todavia, o cuidado se mostrou completamente ineficiente no tocante à restauração da resistência dos F<sub>1</sub>B à infecção por *T. cruzi*.

Conforme figura 3, os níveis parasitêmicos dos F<sub>1</sub>B receptores de LTN foram sempre menores que os dos F<sub>1</sub>B e, entre aqueles, o que recebeu população linfocítica maior.

Entendemos que, por serem os camundongos exauridos de linfócitos tímicos dependentes capazes de produzir anticorpos durante infecção chagásica (SCHMUNIS et al., 1971), o lote que recebeu quantidade maior de linfócitos teve um contingente maior de T auxiliares envolvidos na anticorpogênese (BURGESS et al., 1981).

Ainda com relação ao insucesso obtido na transferência adotiva de T normais para a restauração da resistência dos F<sub>1</sub>B, colocamos a possibilidade de ser devido à falta de alguma subpopulação linfocítica indispensável para o sucesso esperado.

Pelo menos no tocante à quantidade, a partir do macerado de baço, obtivemos rendimento de 8 a 12% de T, quando sabemos existir no órgão em torno de 20% (BURGESS & HANSON, 1980), o que nos possibilita suspeitar que a referida diferença fique por conta de uma ou mais subpopulações tímicas dependentes.

A sobrevida dos camundongos ensaiados mostrou-se discretamente aumentada aos vinte dias de infecção, ocorrendo o óbito de todos os animais aos trinta dias.

Admitimos que o pequeno incremento na sobrevida dos camundongos F<sub>1</sub>B + 2 x 10<sup>7</sup> LTN + SI seja devido ao maior controle da parasitemia, que diminuiu a velocidade de infecção tissular (HANSON & ROBERTSON, 1974), particularmente dos órgãos nobres.

Reforçando nossa posição, pudemos constatar que a falência em restaurar a resistência dos camundongos F<sub>1</sub>B com LTN não está relacionada à anticorpogênese na fase primária, dado que a transferência simultânea de soro imune, apesar do excelente desempenho no controle parasitêmico, não mudou de forma significativa a taxa de mortalidade dos F<sub>1</sub>B (Tabela 6).

Observamos que a transferência adotiva de linfócitos T normais não foi suficiente para permitir uma adequada indução e/ou efetivação no compartimento celular, possivelmente responsável pela determinação do fator resistência dos camundongos F<sub>1</sub> durante uma infecção primária por 10<sup>2</sup> *T. cruzi*.

Na última série de experimento, ao utilizarmos T imunes, ou seja, provenientes dos camundongos sobreviventes de infecção chagásica, obtivemos nos F<sub>1</sub>B a restauração de sua capacidade de sobrevivência a um inóculo de 10<sup>2</sup> *T. cruzi*.

O resultado foi amplamente concordante com o nosso atual conhecimento e particularmente com trabalhos de BURGESS & HANSON (1980) e REED (1980), que obtiveram, em camundongos, resistência à infecção por meio da transferência de linfócitos imunes caracterizados como tímicos dependentes.

Nossos experimentos evidenciaram uma relação inversa entre o número de células imunes transplantadas e o nível parasitêmico: o lote de camundongos F<sub>1</sub>B, que maior número de **T** recebeu, apresentou os menores níveis parasitêmicos, sem, no entanto, modificar as taxas de mortalidade, que se mostraram muito semelhantes à dos F<sub>1</sub> utilizados como controles.

Pela figura 5, representativa da parasitemia nos camundongos F<sub>1</sub>B, que receberam adotivamente **T** imunes, os níveis parasitêmicos sempre foram menores que os dos F<sub>1</sub> controles.

Se considerarmos ainda a antecipação do pico parasitêmico e a precoce negativação da parasitemia, em relação aos F<sub>1</sub>, teremos como conclusão que a memória imunológica está intimamente relacionada aos **T**. Somente camundongos receptores de linfócitos com memória imune para infecção por *T. cruzi* poderiam de forma antecipada, relativamente aos controles, apresentar em qualidade e quantidade melhor controle da parasitemia.

Todavia, a sobrevivência dos F<sub>1</sub>B receptores de **T**, imunes aos 20 dias de infecção por *T. cruzi*, não alcançou o valor observado nos F<sub>1</sub>, 100%, o que é perfeitamente justificável pelos erros operacionais com os F<sub>1</sub>B e pelas condições de manutenção dos animais, freqüentemente acometidos de infecções bacterianas.

Comparando as figuras de transferências de LTN + SI e LTI, verifica-se que o controle da parasitemia foi igualmente eficiente, mas que os dois experimentos divergem radicalmente no tocante à taxa de mortalidade (Tabela 1).

Enquanto os F<sub>1</sub>B receptores de LTN + SI apresentaram 100% de mortalidade aos vinte dias de infecção, os de LTI tiveram de 20% no máximo.

Se o compartimento humoral, portanto, é suficiente para o controle parasitêmico, temos evidências de que essa atividade funcional não determina a resistência dos camundongos F<sub>1</sub> perante um inóculo de 10<sup>2</sup> *T. cruzi*.

Por fim, colocamos nossa posição de que, a despeito dos fatores inerentes aos hospedeiros e parasitas, a resistência de camundongos a uma infecção por *T. cruzi* tem como fator determinante a presença de um adequado aparelho celular do sistema imune, ainda na resposta primária, podendo mesmo ser este o fator determinante do caráter resistência observado em algumas cepas de camundongos.

V  
C O N C L U S Õ E S

1. A imunidade celular é imprescindível na modulação da resposta primária de murinos, diante de uma infecção por *T. cruzi*.
2. A imunidade humoral não restaura em camundongos exauridos de linfócitos T ( $F_1B$ ) a resistência de seus originadores  $F_1$ , em que pese o eficiente controle da parasitemia durante a fase aguda da infecção.
3. A memória imunológica, na infecção chagásica experimental em camundongos, está relacionada aos linfócitos tímicos dependentes.
4. A imunidade celular é fator determinante da resistência de camundongos infectados por *T. cruzi*, durante a fase aguda, além de sua possível participação na anticorpogênese.

## REFERÊNCIAS BIBLIOGRÁFICAS

- ANDRADE, S.G. & ANDRADE, Z.A. Patologia da doença de Chagas experimental de longa duração. *Rev. Inst. Med. Trop. São Paulo*, 10:180-187, 1968.
- ANDRADE, Z.A. & ANDRADE, S.G. Patologia. In: BRENER, Z. & ANDRADE, Z., ed. *Trypanosoma cruzi e Doença de Chagas*. Rio de Janeiro, Guanabara-Koogan, 1979. p. 199-248.
- BARRETO, M.P. Reservatórios do *Trypanosoma cruzi*. In: CANÇADO, J.R., ed. *Doença de Chagas*. Belo Horizonte, Imprensa Oficial do Estado de Minas Gerais, 1968a. p. 163-188.
- \_\_\_\_\_. Transmissores do *Trypanosoma cruzi*: Triatomíneos. In: CANÇADO, J.R., ed. *Doença de Chagas*. Belo Horizonte, Impresa Oficial do Estado de Minas Gerais, 1968b. p. 189-224.
- \_\_\_\_\_. Epidemiologia. In: BRENER, Z. & ANDRADE, Z., ed. *Trypanosoma cruzi e Doença de Chagas*. Rio de Janeiro, Guanabara-Koogan, 1979. p. 89-151.

BRAZ, R.F.S. Resistência na infecção pelo *Trypanosoma cruzi* (Chagas, 1909): I. A importância da resposta humorai no período pré-patente da infecção experimental em camundongos. Tese de Mestrado apresentada ao Departamento de Imunologia e Microbiologia do Instituto de Biologia da Universidade Estadual de Campinas, SP, Brasil, 1981. Mimeo.

BRENER, Z. Terapêutica experimental. In: CANÇADO, J. R., ed. *Doença de Chagas*. Belo Horizonte. Imprensa Oficial do Estado de Minas Gerais, 1968. p. 501-516.

BURGESS, D.E. & HANSON, W.L. *Trypanosoma cruzi*. The T-Cell dependence of the primary immune response and the effects of depletion of T-cells and Ig-Bearing cells on immunological memory. *Cell Immunol.*, 52:176-186, 1980.

\_\_\_\_\_, KUHM, R.E. & CARLSOM, K. Induction of Parasite Specific Helper T - Lymphactes During *Trypanosoma cruzi* Infections in mice. *The Journal of Immunology* 127(5):2092-2095, 1981

CANÇADO, J.R. & BRENER, Z. Terapêutica. In: BRENER, Z. & ANDRADE, Z., ed. *Trypanosoma cruzi e Doença de Chagas*. Rio de Janeiro, Guanabara-Koogan, 1979. p. 362-424.

CHAGAS, C. Nova tripanosomiase humana. Estudos sobre a morfologia e o ciclo evolutivo do *Schizotrypanum cruzi* n. gen., n.sp., agente etiológico de nova entidade mórbida do homem. *Mem. Inst. Oswaldo Cruz*, 1:159-218, 1901.

CORSINI, A.C., COSTA, M.G., OLIVEIRA, O.L.P.; CAMARGO, I.J.B. & STELINI JR., A. Susceptibility of imbred mice to *Trypanosoma cruzi* strain Y. *Revta. Inst. Med. trop. São Paulo*. 22:192-196, 1980.

COSSIO, P.M.; LAGUEMS, R.P.; DIEZ, C.; SZARFMAN, A.; SEGAL, A. & ARAMA, R.M. Chagasic cardiopathy antibodies reacting with plasma membrane of striated muscle and endothelial cells. *Circulation*, **50** : 1252-1259, 1974.

CULBERTSON, B.L. & KOLODNY, M.H. Acquired immunity in rat against *Trypanosoma cruzi*. *J. Parasitol.*, **24**: 83-90, 1938.

GUERREIRO, C. & MACHADO, A. Da reação de Bordet e Gengoux na moléstia de Carlos Chagas como elemento diagnóstico. *Brasil-med.*, **27**:225-226, 1913.

HANSON, W.L. Immunology of American Trypanosomiasis (Chagas'Disease). In: COHEN, S. & SADUN, E.H., ed. *Immunology of Parasitic Infections*. Edinburgh, Great Britain, Blackwell Scientific Publications, 1976. p. 222-234.

\_\_\_\_\_. & ROBERSON, E.L. Density of Parasites in variuns organs and the relation to Numbers of Trypomastogotes in the Blood during Acute Infections of *Trypanosoma cruzi* in Mice. *J. Protozool.*, **21**:512-517, 1974.

JONES, T.C., YEH, S. & HIRSCH, J.G. The interaction between Toxoplasma and mammalian cells. Mechanisms of entry and fate of the intra-cellular parasite. *J. Exp. Med.*, **136**:1157-1172, 1972.

JULIUS, M.H., SIMPSON, E. & HERZEMBERG, L.A. A rapid method for the isolation of functional thymus derived murine lymphocytes. *Eur. J. Immunol.*, **3**:645-649, 1973.

KAGAN, J.G. & NORMAN, L. Immunological studies on *Trypanosoma cruzi*. IV. Serial transfer of organism from immune to non immune mice. *J. Parasitol.*, **48**:584-588, 1962.

KATZ, D.H. The Immune System: an overview. In: Stites, D.P., Stobo, J.D., Fudenberg, H.H. & Wells, J.V., ed. *Basic & Clinical Immunology*. Los Altos - USA, 1982, p. 13-20.

KIERSZEMBAUM, F. & HOWARD, J.C. Mechanisms against experimental *T.cruzi* infections: the importance of antibodies and antibodyforming capacity in the Biozzi high and low responder mice. *J. Immunol.*, **116**:1208-1211, 1976.

KLAUS, G.G.B. & HUMPHREY, J.H. The generation of memory cells. I. The role of C<sub>3</sub> in generation of B memory cells. *Immunology*, **33**:33-41, 1977.

KHOURY, E.L.; RITACCO, V.; COSSIO, P.M.; LAGUEMS, R.P.; SZARFMAN, A.; DIEZ, C. & ARAMA, R.M.; Circularizing antibodies to peripherical nerve in American Trypanosomiasis (Chagas'disease). *Clin. Exp. Immunol.*, **36**:8-12, 1979.

KOBERLE, F. Patogenia da Moléstia de Chagas. In: Cançado, J.R., ed. *Doença de Chagas*. Belo Horizonte, Imprensa Oficial do Estado de Minas Gerais, 1968. p. 238-260.

KRETTLI, A.V. & BRENER, Z. Protective effects of specific antibodies in *Trypanosoma cruzi* infections. *J. Immunol.*, **116**:755-760, 1976.

KRETTLI, A.V. & BRENER, Z. Resistance against *Trypanosoma cruzi* associated to anti-living Trypomastigote antibodies. *J. Immunol.*, 126:2009-2012, 1982.

LARANJA, F.S.; DIAS, E.; NOBREGA, G. & MIRANDA, A. Chagas disease. A clinical, epidemiologic and pathologic study. *Circulation*, 14:1035-1060, 1956.

MUNIZ, J. & FREITAS, G. de. Estudos sobre a imunidade humoral na doença de Chagas. *Brasil Med.*, 60:337-341, 1946.

NOGUEIRA, M. & COHN, Z.A. *Trypanosoma cruzi*: mechanism of entry and intracellular fate in mammalian cells. *J. Exp. Med.*, 143:1402-1413, 1976.

\_\_\_\_\_ ; GORDON, S. & COHM, Z.A. *Trypanosoma cruzi*: modification of macrophage function during infection. *J. Exp. Med.*, 146:157-171, 1977.

OKABE, K.; KIPNIS, T.L.; GALICH, V.L.G. & DIAS DA SILVA, W. Cell-mediated cytotoxicity to *Trypanosoma cruzi*. I. Antibody-dependent cell mediated cytotoxicity to tripomastigote bloods tream form. *Clin. Immunol. Immunopathol.*, 16:344-352, 1980.

PEREIRA DA SILVA, L.H. & NUSSEMZWEIG, V. Sobre uma cepa de *T.cruzi* altamente virulenta para camundongo branco. *Folia clin. Biol.*, São Paulo, 20:191-201, 1953.

PIZZI, T.; RUBIO, M. & KNIERIM, F. Imunologia de la enfermedad de Chagas. *Bol. Chil. Parasitol.* 9: 35-47, 1954.

REED, S.G. Adoptive transfer of resistance to acute *Trypanosoma cruzi* infection with T-Lymphocyte - Enriched Spleen Cells. *Infect. Immun.*, **28**:404-410, 1980.

ROBERSON, E.L. & HANSON, W.L. Transfer of immunity to *T. cruzi*. *Trans. Roy. Soc. Trop. Med. Hyg.*, **68**:338, 1974.

\_\_\_\_\_; \_\_\_\_ & CHAPMAN, W.L. *Trypanosoma cruzi*: effect of antithymocyte serum on mice and neonatal thymectomy in rats. *Exp. Parasitol.*, **34**:168-180, 1973.

SANTOS-BUCH, C.A. & TEIXEIRA, A.R.L. The Immunology of Experimental Chagas'disease. III. Rejection of allogenic heart cells in vitro. *J. Exp. Med.*, **140**: 38-59, 1974.

SCHMUÑIS, G.A.; GONZALEZ-CAPPA, S.M.; TRAVERSA, O.C. & JANOVSKY, J.F. The effect of immuno depression due to neonatal tymectomy on infections with *Trypanosoma cruzi* in mice. *Trans. Roy. Soc. Trop. Med. Hyg.*, **65**:89-94, 1971.

TAKEHARA, H.A. & MOTA, I. Role of different antibody classes in protection against *Trypanosoma cruzi* infection im mice. Congresso Internacional sobre Doença de Chagas. Rio de Janeiro, 1979.

TALIAFERRO, W.H. & PIZZI, T. Connective tissue reactions in normal and immunized mice to a reticulo-tropic strain of *Trypanosoma cruzi*. *J. Infect. Dis.*, **96**:199-226, 1955.

TEIXEIRA, A.R.L. Autoimmune mechanisms in Chagas Disease. *New Approaches in American Trypanosomiasis Research*. Proceedings of an International Symposium. Belo Horizonte, Pan American Health Organization, 1975. p. 98-108.

\_\_\_\_\_ & SANTOS-BUCH, C.A. The immunology of experimental Chagas' Disease. I. Preparation of *Trypanosoma cruzi*. Antigens and Humoral Response to these Antigens. *J. Immunol.*, 113:859-869, 1974.

TRISCHMAN, T.; TANOWITZ, H.; WITTMER, M. & BLOOM, B. *T. cruzi*: role of the immune response in the natural resistance of imbred strains of mice. *Exp. Parasitol.*, 45:160-168, 1978.

WORLD HEALTH ORGANIZATION (WHO) memoranda. Immunology of Chagas'disease. *Bull. Who* 50(5):459-472, 1974.

WORLD HEALTH ORGANIZATION. Report of the first meeting of the scientific working Chagas'Disease. TDR/CHA - SWG (1) 77.3. Buenos Aires, 1977. p. 1-45.